



امنیت حفاظت در برآرائه ایمنی ایران

مقاله پژوهشی

مجله سنجش و اینمی پرتو، جلد ۹، شماره ۲، بهار ۱۴۰۰، صفحه ۵۷-۶۷

تاریخ دریافت مقاله: ۱۳۹۹/۰۸/۲۹، تاریخ پذیرش مقاله: ۱۴۰۰/۰۱/۲۱



ارزیابی اثرات تغییر ضخامت آشکارسازها بر کیفیت تصویر در تصویربرداری توسط دوربین کامپیون

سید محمد رضا هاشمی، پیوند طاهرپور* و محمد رزاقی

گروه فیزیک، دانشکده علوم پایه، دانشگاه گیلان، رشت، گیلان، ایران.

* گیلان، رشت، دانشگاه گیلان، دانشکده علوم پایه، گروه فیزیک، کد پستی: ۴۱۹۳۸-۳۳۶۹۷

پست الکترونیکی: p.taherparvar@gmail.com

چکیده

دوربین کامپیون دستگاهی است که به منظور تصویربرداری از چشم‌های گسیلنده گاما با انرژی بالا توسعه یافته است. مزیت این دوربین نسبت به دوربین‌های تصویربرداری SPECT، در حساسیت، نحوه آشکارسازی پرتوهای گاما و استفاده از طیف وسیعی از انرژی پرتوهای گاما فرودی می‌باشد. تمامی موارد ذکر شده سبب گردیده که این دستگاه، کاربردهای ویژه‌ای جهت استفاده در موارد تصویربرداری پزشکی هسته‌ای و به خصوص هادرتون‌ترابی داشته باشد. از طرفی بازسازی تصویر در دوربین کامپیون، نسبت به مدل‌های معمول بسیار پیچیده‌تر است و در واقع با نگاره‌های^۱ سطح-مخروطی مواجه هستیم؛ که در این رابطه روش‌های متفاوتی بر مبنای روش تکرار به منظور بازسازی تصاویر توسعه یافته است. دوربین پراکنده‌گی کامپیون شامل دو آشکارساز است که آشکارساز نزدیکتر به چشم به منظور رخداد و ثبت پراکنده‌گی کامپیون در این آشکارساز و دومین آشکارساز که در پشت آشکارساز ابتدایی قرار می‌گیرد (دورتر از چشم)، برای جذب فوتون‌های پراکنده شده (توسط آشکارساز طراحی شده است. موقعیت، انرژی و زمان برهم‌کنش توسط هر دو آشکارساز محاسبه می‌شود. به کمک انرژی نهشت یافته در دو آشکارساز و هم‌چنین ثبت موقعیت برهم‌کنش، زاویه گشودگی و رأس مخروط کامپیون قابل محاسبه خواهد بود. در ادامه نیز با تصویر این مخروط‌ها در فضای تصویر و یافتن نقاطی که پیکسل‌های اختصاص‌یافته به مخروط‌ها تراکم بیشتری دارند می‌توان بازسازی تصویر را برای دوربین کامپیون و در یک رصد انجام داد. در این مقاله، شبیه‌سازی دوربین کامپیون در نرم‌افزار GATE صورت پذیرفته و اثرات تغییر ضخامت بر نحوه آشکارسازی دوربین کامپیون، برای یک فانتوم شامل چهار کره پرتوزا بررسی شده است. بازسازی تصویر به کمک الگوریتم LM-MLEM در نرم‌افزار MATLAB انجام شده است. نتایج نشان می‌دهد که تخمين ضخامت‌های بهینه برای آشکارساز پراکنده دوربین کامپیون، با توجه به الگوریتم متفاوت بازسازی و نیز توازن میان ثبت رویدادها در آشکارساز جاذب و پراکنده به شرایط تصویربرداری و نوع چشم‌های پرتوزا وابسته است، اگرچه برای آشکارساز جاذب، ضخامت مؤثر برای افزایش جذب هرچه بیشتر رویدادها مورد نیاز است. میزان تکرار بر کارایی الگوریتم تأثیر مستقیمی داشته و نیز مشخصات دوربین می‌تواند بر کیفیت تصویر، به شدت تأثیرگذار باشد.

کلیدواژگان: دوربین کامپیون، هادرتون‌ترابی، بازسازی تصویر، GATE.

¹ projections

۱. مقدمه

دومین آشکارساز که در پشت آشکارساز ابتدایی (دورتر از چشم) قرار می‌گیرد (آشکارساز جاذب^۹، برای جذب فوتون‌های پراکنده شده (توسط آشکارساز اول) طراحی شده است. موقعیت، انرژی و زمان برهم‌کنش توسط هر دو آشکارساز محاسبه می‌شود. به کمک ثبت انرژی نهشت یافته در دو آشکارساز، زاویه پراکندگی از طریق رابطه پراکندگی کامپتون قابل محاسبه خواهد بود [۵]:

$$\text{Cos}(\beta) = 1 - m_e c^2 ((1/E_2) - (1/E_0)) \quad (1)$$

که E_2 به ترتیب انرژی فوتون پیش از پراکندگی و انرژی آن پس از پراکندگی کامپتون می‌باشد. m_e جرم سکون الکترون و c سرعت نور می‌باشد. برای اطمینان از آن‌که دو رویداد آشکارشده در دو آشکارساز، نشأت گرفته از یک پرتو گاما باشند، از یک مدار همفروضی میان دو آشکارساز استفاده می‌گردد. همین امر سبب می‌گردد نوع بازسازی تصویر نسبت به روش‌های متداول مورد استفاده در پت و اسپکت کمی متفاوت باشد.

تصویربرداری دوربین کامپتون با توان آشکارسازی انرژی‌های بالا در حال حاضر در اختفیزیک، صنعت و در اکثر نمونه‌های اولیه سیستم‌هایی که سازوکارشان بهمنظور آشکارسازی انرژی بالا ($0.5-100 \text{ MeV}$) توسعه یافته است، به کار گرفته می‌شود. آشکارسازهای مورد استفاده در این نوع دوربین، از نوع سوسوزن (NaI و CsI) بوده و بهمنظور بهبود بهره آشکارسازی از آشکارسازهای جدیدتری مانند تلوئید روی-کادمیوم برای تصویربرداری از پرتوهای گامای پرانرژی استفاده می‌شود [۶ و ۷].

در دوربین کامپتون، با افزایش ضخامت کریستال‌های سوسوزن دوربین‌ها، احتمال برهم‌کش فوتون فروضی در حجم

^۹ absorber

روش‌های متداول در تصویربرداری هسته‌ای شامل تکنیک‌های اسپکت^۱ و پت^۲ می‌باشد. دستگاه‌های تصویربرداری اسپکت عموماً برای رادیوداروهای به نسبت کم انرژی توسعه یافته‌اند و دستگاه‌های پت برای گاماهای حاصل از پدیده نابودی زوج اختصاصی شده‌اند. این دستگاه‌ها برای تصویربرداری از گاماهای پرانرژی معمولاً از حساسیت کمتری برخوردار هستند. به منظور تصویربرداری از توزیع پرتوزایی برای ایزوتوپ‌هایی که گسیلنده گاماهای پرانرژی هستند، دوربین‌های جدیدتری با نام دوربین کامپتون توسعه یافته‌اند. ایده استفاده از پدیده پراکندگی کامپتون با درنظر گرفتن دستگاه‌های تصویربرداری همفروضی^۳، نخستین بار توسط شونفلدر^۴ در سال ۱۹۷۳ برای تصویربرداری در محدوده انرژی $1-10 \text{ MeV}$ در زمینه اختفیزیک ارائه شد [۱]. گسترش این ایده جهت به کارگیری در تصویربرداری پزشکی هسته‌ای، یک سال بعد (سال ۱۹۷۴) توسط تاد^۵ مطرح گردید؛ که پیشنهادی درباره روند آشکارسازی دو برهم‌کنش اولیه فوتون فروضی، در ساختار سه‌بعدی آرایه‌های مشبک سیلیکون بود [۲]. در سال ۱۹۸۳، سینگ^۶ نمونه اولیه دوربین کامپتون را که در آن، باریکه‌سازهای^۷ مرسوم که در مقابل آشکارساز دوربین انگر قرار داشتند، حذف نموده و از آشکارساز ژرمانیوم خلوص بالا، جهت استفاده در پزشکی هسته‌ای بهره برد [۳ و ۴].

دوربین پراکندگی کامپتون، مشتمل بر دو آشکارساز است که آشکارساز نزدیک‌تر به چشم (آشکارساز پراکنده^۸) بهمنظور رخداد و ثبت پراکندگی کامپتون در این آشکارساز و

^۱ SPECT

^۲ PET

^۳ Coincidence imaging

^۴ Schönfelder

^۵ Todd

^۶ Singh

^۷ Collimator

^۸ scatterer

نسبت درصدی انحراف استاندارد زمینه به میانگین شمارش‌ها در ROI، نویز نسبی می‌باشد [۹].

$$RN = \frac{\sigma_{BG}}{\bar{N}_{BG}} \times 100 \quad (4)$$

۲. بازسازی تصویر

جهت آشکارسازی چشمۀ در دوربین کامپیتون، مطابق شکل ۱ با قراردادن چشمۀ گسیلنده گاما در میدان دید دوربین، فوتون‌های گسیل شده از نقطه M در میدان دید دوربین، با انرژی E₀ و به سمت سامانه آشکارسازی دوربین کامپیتون واپاشی می‌شوند. فوتون مدنظر، جهت آشکارسازی باید در آشکارساز اول، پراکندگی کامپیتون را در موقعیت مکانی V₁ تجربه کند. سپس طی این پراکندگی بخشی از انرژی اولیه خود را به یک الکترون منتقل می‌کند (E₁). پس از این مرحله فوتون منحرف شده و از فضای آشکارساز اول خارج می‌شود و به سمت آشکارساز دوم حرکت می‌کند و در آشکارساز دوم نیز در موقعیت مکانی V₂ مقدار انرژی باقیمانده خود را به صورت کامل به نهشت می‌گذارد (E₂). همان‌طور که در رابطه ۱ اشاره شد؛ با توجه به انرژی اولیه و انرژی نهشت‌یافته در آشکارساز دوم می‌توان از طریق رابطه کامپیتون زاویه گشودگی مخروط (β) را محاسبه نمود [۱۰]. همین فرآیند سبب می‌گردد تا روش بازسازی تصویر در دوربین کامپیتون نسبت به بازسازی متداول تصویر در سیستم‌های اسپیکت که برپایه روش‌های FBP و تکرار است [۱۱]، متفاوت باشد. با حاصل شدن دو M₁ و M₂ مختصه برهم‌کنش فوتون با آشکارسازها، در نقاط V₁ و V₂ بردار V₁ و V₂ مشخص می‌شود. در حالت ایده‌آل ذره نشات گرفته از نقطه M، به سطح مخروطی با راس V₁ متعلق است. این مخروط با جهت محوری V₁ و زاویه گشودگی β تحت عنوان مخروط کامپیتون تلقی می‌گردد که به صورت C(V₁, V₂, β) نمایش داده می‌شود. اما عدم قطعیت‌های موجود در تخمین مکان و انرژی چشمۀ نیز وجود دارد که در بازسازی تصویر مورد توجه قرار می‌گیرد [۱۰].

حساب آشکارساز افزایش خواهد یافت، بنابراین انتظار می‌رود با افزایش ضخامت، تعداد برهم‌کنش‌ها و رویدادهای صحیح افزایش پیدا کند اما این امر ممکن است رویدادهای ثبت شده در آشکارساز جاذب را که در پشت آشکارساز پراکننده قرار گرفته است، تحت تأثیر قرار دهد. از همین‌رو و با توجه به موارد یاد شده، در این مقاله در ابتدا شبیه‌سازی یک دوربین کامپیتون در کد مونت‌کارلو^۱ GATE [۷] پیاده‌سازی گردیده و به کمک الگوریتم بازسازی تصویر برپایه روش MLEM^۲، به بازسازی تصویر یک فانتوم استوانه‌ای شامل توده‌های گرم پرداخته شده است؛ که نتایج حاصل شده، نشان از درستی عملکرد کد بازسازی تصویر براساس روش آماری مذکور می‌باشد. در ادامه به ارزیابی اثرات ضخامت مربوط به کریستال‌های دوربین بر کیفیت تصاویر بازسازی شده به کمک معیارهایی مانند کتراست (C)، نسبت سیگنال به نویز^۳ (SNR) و نویز نسبی^۴ (RN) پرداخته‌ایم. برای محاسبه کتراست تصویر یک توده گرم، از تفاضل مقدار میانگین شمارش‌ها در ناحیه مربوط به یک توده گرم (\bar{N}_{CS}) بر میانگین شمارش‌ها در ناحیه زمینه (\bar{N}_{BG}) تقسیم بر میانگین شمارش‌های انجام شده در ناحیه زمینه، استفاده می‌شود [۹]:

$$C = \frac{\bar{N}_{CS} - \bar{N}_{BG}}{\bar{N}_{BG}} \quad (2)$$

به منظور ارزیابی شمارش، از رسم یک سطح بسته به نام ناحیه مورد نظر (ROI) استفاده می‌شود. در این صورت، ROI به صورت نسبت اختلاف میانگین شمارش‌ها در ناحیه SNR، به میانگین شمارش‌های انجام شده در ROI زمینه، به توده به میانگین شمارش‌های انجام شده در ROI زمینه، به انحراف معیار استاندارد ROI زمینه (σ_{BG}) تعریف می‌شود [۹]:

$$SNR = \frac{\bar{N}_{CS} - \bar{N}_{BG}}{\sigma_{BG}} \quad (3)$$

¹ Geant4 Application for Tomographic Emission

² Maximum-likelihood expectation maximization

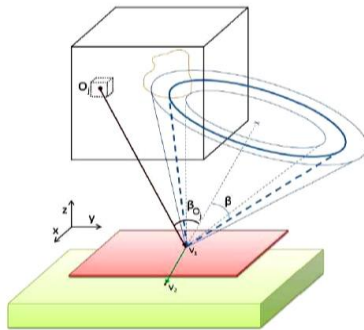
³ Noise

⁴ Relative Noise

$\sum_k t_{ik} \lambda_k^{(l)}$ نیز بر مبنای حدس اولیه، به ازای ۱ های مختلف (به کمک یک تابع مقایسه‌ای) در هر مرحله تصحیح و ارتقا می‌باید تا جایی که به نزدیک‌ترین مقدار واپاشی و کسل زام برسد [۱۳].

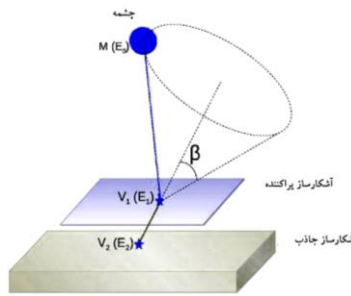
به منظور محاسبه t_{ij} با درنظر گرفتن یک مبنای اساسی برای واپاشی در وکسل و اختصاص یک مقدار منفرد به هر وکسل (صرفاً موقعیت مکانی مراکز وکسل‌ها را به جای محاسبه‌ی حجم یکایک وکسل‌ها درنظر می‌گیریم)، کفایت می‌کند؛ یعنی محاسبات به مراکز وکسل‌ها محدود می‌شود. با معرفی β_{o_j} به صورت فاصله زاویه‌ای مرکز وکسل (o_j) با محور مخروط کامپتون رابطه t_{ij} بدین شکل بیان می‌شود [۱۳]:

$$t_{ij} = K(\beta_{o_j}, E_0) \frac{|\cos(\theta_{o_j})|}{|V_{1o_j}|^2} h(\beta_{o_j} | \beta, \sigma_\beta) vol(v_j) \quad (6)$$



شکل (۲): مدل به کار گرفته شده جهت بازسازی تصویر [۱۰].

در رابطه (۳)، $K(\beta_{o_j}, E_0)$ بیانگر رابطه کلاین-نیشینا [۵] بوده و $vol(v_j)$ معادل حجم وکسل زام می‌باشد. $|\cos(\theta_{o_j})|$ زاویه مرکز وکسل زام با محور عمودی و $|V_{1o_j}|^2$ بردار بین مرکز وکسل و موقعیت آشکارسازی شده در آشکارساز پراکننده است. از آنجایی که همه وکسل‌ها حجم یکسانی دارند، $vol(v_j)$ مقدار ثابتی دارد. زمانی که وکسلی از مخروط کامپتون خیلی دور باشد، تأثیری در رویداد آشکارشده ندارد. پس مقدار معادل آن را جهت آشکارسازی چشمی برابر با صفر می‌توان درنظر گرفت و \hbar نیز بیانگر اعمال توزیع گوسی می‌باشد [۱۳].



شکل (۱): نمایش آشکارسازی یک فوتون گاما در دوربین کامپتون.

۱.۲. الگوریتم LM-MLEM

به منظور بازسازی تصویر در دوربین کامپتون، از الگوریتم پیشنهادی توسط کارسون^۱ و لنگ^۲ که در یک توزیع پارامتری به دنبال بیشینه‌سازی مقدار انتظاری از طریق رویکرد تکرار، جهت دست‌یابی به بیشینه تابع احتمال استفاده می‌شود [۱۲] بهره گرفته شد. در این رویکرد برپایه الگوریتم MLEM میزان واپاشی وکسل زام از رابطه زیر محاسبه می‌شود:

$$\lambda_j^{(l+1)} = \left(\frac{\lambda_j^{(l)}}{s_j} \right) \sum_i \left(\frac{t_{ij}}{\sum_k t_{ik} \lambda_k^{(l)}} \right) \quad (5)$$

$$s_j = \sum_i t_{ij}$$

که ۱ میزان تکرار الگوریتم و $\lambda_j^{(l)}$ حدس اولیه است. در رابطه فوق، t_{ij} احتمال تراگسیل پرتو از وکسل زام به پیکسل i می‌باشد. s_j را نیز حساسیت دستگاه درنظر می‌گیریم که بیانگر این امر است که رویداد واپاشی شده از وکسل زام در پیکسل آن آشکارسازی گردد. به منظور افزایش دقیقت بازسازی، ضخامتی برای مخروط کامپتون درنظر گرفته می‌شود و سهم هر کدام از وکسل‌های تصویر در شکل گیری ثبت رویداد در آشکارساز پراکننده تخمین زده خواهد شد. درواقع با اتصال مرکز هریک از وکسل‌ها به مکان آشکارسازی شده در آشکارساز پراکننده و مقایسه این خط با محور مخروط تخمین زده شده، توسط رویدادهای ثبتی دو آشکارساز، به وکسل‌های تصویر، سهمی از مقدار بیشینه تا صفر اختصاص می‌باید.

¹ Carson

² Lange

برای شبیه‌سازی در کد GATE، آشکارسازهای پراکنده و جاذب از جنس تلووئیدروی کادمیوم (CZT^۱) به کار گرفته شدند. فاصله آشکارساز پراکنده از چشممه نیز برابر با ۱۰ سانتی‌متر اتخاذ شد و همچنین فاصله دو آشکارساز مذکور نیز برابر با $7/5$ سانتی‌متر درنظر گرفته شد؛ ابعاد هریک از آشکارسازها نیز در مرتبه اسپکت و پت حیوانی درنظر گرفته شد، طول و عرض آن‌ها برابر ۹ سانتی‌متر و ضخامت آشکارسازها نیز در مرتبه اسپکت حیوانی و در محدوده $۰,۵$ تا ۳ سانتی‌متر درنظر گرفته شد. در شبیه‌سازی‌های متفاوت، تغییرات به صورتی اعمال شد که در ابتدا ضخامت آشکارساز پراکنده ثابت و برابر با $۰,۵$ سانتی‌متر درنظر گرفته شد و متعاقباً نسبت به آشکارساز جاذب، ۳ مرتبه تغییر ضخامت اعمال شد که به ترتیب برابر با $۱, ۲$ و ۳ سانتی‌متر است. به همین ترتیب این روند برای آشکارساز جاذب صورت پذیرفت؛ که ضخامت آن ثابت و برابر با ۳ سانتی‌متر منظور شد و ضخامت پراکنده به ترتیب برابر با $۱, ۰,۵$ و ۲ سانتی‌متر لحاظ گردید تا اثرات این تغییر ضخامت بر کارایی دوربین کامپیتون مورد مطالعه قرار گیرد. مدت زمان تصویربرداری نیز برای هر شبیه‌سازی ثابت و معادل با ۶۰ ثانیه درنظر گرفته شد. به منظور ارزیابی میزان کیفیت تصاویر بازسازی شده، از معیارهایی مانند کنتراست، SNR و نویه نسبی RN استفاده شد و استخراج داده‌ها و ارزیابی‌های کمی تصویر در نرم‌افزار ROI AMIDE [۱۶] به کمک کشیدن ROI استفاده شد. ها براساس ابعاد واقعی توده‌ها در مکان اصلی آن‌ها، انتخاب شدند و همچنین برابر با ابعاد بزرگترین توده (کره چهارم)، از یک ROI، در مرکز تصویر، جهت برآورد میزان شمارش زمینه GATE تصویر استفاده گردید. درادامه، داده‌های خروجی کد ROOT با فرمت MATLAB توسط نرم‌افزار MATLAB فراخوانی شده و با اعمال شروط مربوط به انرژی، زمان و موقعیت مکانی

انحراف معیار تجربی σ_β با مقادیر اندازه‌گیری شده E_2 و E_1 و با درنظر گرفتن عدم قطعیت در اندازه‌گیری انرژی توسط آشکارسازها محاسبه می‌شود که به ترتیب با $\sigma(E_2)$ و $\sigma(E_1)$ نشان داده می‌شود [۱۲].

$$\sigma_\beta = \frac{m_e c^2}{\sin(\beta)} \sqrt{\left(\frac{1}{E_2^2} - \frac{1}{E_0^2}\right) \sigma^2(E_2) + \frac{1}{E_0^4} \sigma^2(E_1)} \quad (7)$$

تعریف کلی برای مقدار آستانه زاویه‌ای بدین صورت است:

t_{ij} به صورت رابطه زیر برآورد می‌شود:
 $p = \begin{cases} \text{مقدار آستانه به ازای ضریب } |\beta_{oj} - \beta| < p\sigma_\beta \\ \text{بیشترین مقدار همپوشانی با مقدار واقعی را دارد} \\ 10\% \end{cases}$

$$t_{ij} = \begin{cases} K(\beta_{oj}, E_0) \frac{|\cos(\theta_{oj})|}{|\vec{V}_{10j}|^2} e^{-\frac{1}{2} \frac{(\beta_{oj} - \beta)^2}{\sigma_\beta^2}} & |\beta_{oj} - \beta| < p\sigma_\beta \\ 0 & |\beta_{oj} - \beta| > p\sigma_\beta \end{cases} \quad (8)$$

۳. نتایج

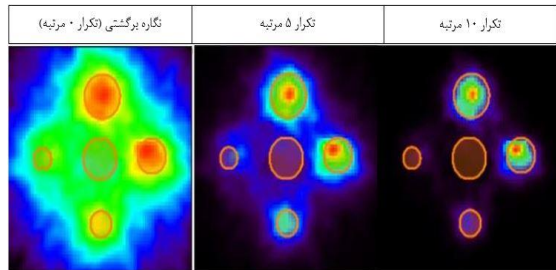
شبیه‌سازی دوربین کامپیتون به کمک کد مونت‌کارلوی GATE انجام شد. این کد، از هسته کد GEANT4 بهمنظور شبیه‌سازی مسائل مربوط به تصویربرداری هسته‌ای [۱۳] و نیز رادیوتروپی [۱۵] بهره می‌برد. بهمنظور ارزیابی دقیق‌تر نتایج، از فانتومنی استوانه‌ای با شعاع 4 cm و ارتفاع 3 cm استفاده گردید که در آن چهار کره پرتوزا (شکل ۳) با شعاع‌های $۷, ۹, ۱۲, ۱۵, ۲۰, ۲۵, ۳۰, ۴۰, ۵۰, ۶۰, ۷۵, ۸۵, ۹۵, ۱۰۵, ۱۱۵, ۱۲۵, ۱۳۵, ۱۴۵, ۱۵۵, ۱۶۵, ۱۷۵, ۱۸۵, ۱۹۵, ۲۰۵, ۲۱۵, ۲۲۵, ۲۳۵, ۲۴۵, ۲۵۵, ۲۶۵, ۲۷۵, ۲۸۵, ۲۹۵, ۳۰۵, ۳۱۵, ۳۲۵, ۳۳۵, ۳۴۵, ۳۵۵, ۳۶۵, ۳۷۵, ۳۸۵, ۳۹۵, ۴۰۵, ۴۱۵, ۴۲۵, ۴۳۵, ۴۴۵, ۴۵۵, ۴۶۵, ۴۷۵, ۴۸۵, ۴۹۵, ۵۰۵, ۵۱۵, ۵۲۵, ۵۳۵, ۵۴۵, ۵۵۵, ۵۶۵, ۵۷۵, ۵۸۵, ۵۹۵, ۶۰۵, ۶۱۵, ۶۲۵, ۶۳۵, ۶۴۵, ۶۵۵, ۶۶۵, ۶۷۵, ۶۸۵, ۶۹۵, ۷۰۵, ۷۱۵, ۷۲۵, ۷۳۵, ۷۴۵, ۷۵۵, ۷۶۵, ۷۷۵, ۷۸۵, ۷۹۵, ۸۰۵, ۸۱۵, ۸۲۵, ۸۳۵, ۸۴۵, ۸۵۵, ۸۶۵, ۸۷۵, ۸۸۵, ۸۹۵, ۹۰۵, ۹۱۵, ۹۲۵, ۹۳۵, ۹۴۵, ۹۵۵, ۹۶۵, ۹۷۵, ۹۸۵, ۹۹۵, ۱۰۰۵, ۱۰۱۵, ۱۰۲۵, ۱۰۳۵, ۱۰۴۵, ۱۰۵۵, ۱۰۶۵, ۱۰۷۵, ۱۰۸۵, ۱۰۹۵, ۱۱۰۵, ۱۱۱۵, ۱۱۲۵, ۱۱۳۵, ۱۱۴۵, ۱۱۵۵, ۱۱۶۵, ۱۱۷۵, ۱۱۸۵, ۱۱۹۵, ۱۲۰۵, ۱۲۱۵, ۱۲۲۵, ۱۲۳۵, ۱۲۴۵, ۱۲۵۵, ۱۲۶۵, ۱۲۷۵, ۱۲۸۵, ۱۲۹۵, ۱۳۰۵, ۱۳۱۵, ۱۳۲۵, ۱۳۳۵, ۱۳۴۵, ۱۳۵۵, ۱۳۶۵, ۱۳۷۵, ۱۳۸۵, ۱۳۹۵, ۱۴۰۵, ۱۴۱۵, ۱۴۲۵, ۱۴۳۵, ۱۴۴۵, ۱۴۵۵, ۱۴۶۵, ۱۴۷۵, ۱۴۸۵, ۱۴۹۵, ۱۵۰۵, ۱۵۱۵, ۱۵۲۵, ۱۵۳۵, ۱۵۴۵, ۱۵۵۵, ۱۵۶۵, ۱۵۷۵, ۱۵۸۵, ۱۵۹۵, ۱۶۰۵, ۱۶۱۵, ۱۶۲۵, ۱۶۳۵, ۱۶۴۵, ۱۶۵۵, ۱۶۶۵, ۱۶۷۵, ۱۶۸۵, ۱۶۹۵, ۱۷۰۵, ۱۷۱۵, ۱۷۲۵, ۱۷۳۵, ۱۷۴۵, ۱۷۵۵, ۱۷۶۵, ۱۷۷۵, ۱۷۸۵, ۱۷۹۵, ۱۸۰۵, ۱۸۱۵, ۱۸۲۵, ۱۸۳۵, ۱۸۴۵, ۱۸۵۵, ۱۸۶۵, ۱۸۷۵, ۱۸۸۵, ۱۸۹۵, ۱۹۰۵, ۱۹۱۵, ۱۹۲۵, ۱۹۳۵, ۱۹۴۵, ۱۹۵۵, ۱۹۶۵, ۱۹۷۵, ۱۹۸۵, ۱۹۹۵, ۲۰۰۵, ۲۰۱۵, ۲۰۲۵, ۲۰۳۵, ۲۰۴۵, ۲۰۵۵, ۲۰۶۵, ۲۰۷۵, ۲۰۸۵, ۲۰۹۵, ۲۱۰۵, ۲۱۱۵, ۲۱۲۵, ۲۱۳۵, ۲۱۴۵, ۲۱۵۵, ۲۱۶۵, ۲۱۷۵, ۲۱۸۵, ۲۱۹۵, ۲۲۰۵, ۲۲۱۵, ۲۲۲۵, ۲۲۳۵, ۲۲۴۵, ۲۲۵۵, ۲۲۶۵, ۲۲۷۵, ۲۲۸۵, ۲۲۹۵, ۲۳۰۵, ۲۳۱۵, ۲۳۲۵, ۲۳۳۵, ۲۳۴۵, ۲۳۵۵, ۲۳۶۵, ۲۳۷۵, ۲۳۸۵, ۲۳۹۵, ۲۴۰۵, ۲۴۱۵, ۲۴۲۵, ۲۴۳۵, ۲۴۴۵, ۲۴۵۵, ۲۴۶۵, ۲۴۷۵, ۲۴۸۵, ۲۴۹۵, ۲۵۰۵, ۲۵۱۵, ۲۵۲۵, ۲۵۳۵, ۲۵۴۵, ۲۵۵۵, ۲۵۶۵, ۲۵۷۵, ۲۵۸۵, ۲۵۹۵, ۲۶۰۵, ۲۶۱۵, ۲۶۲۵, ۲۶۳۵, ۲۶۴۵, ۲۶۵۵, ۲۶۶۵, ۲۶۷۵, ۲۶۸۵, ۲۶۹۵, ۲۷۰۵, ۲۷۱۵, ۲۷۲۵, ۲۷۳۵, ۲۷۴۵, ۲۷۵۵, ۲۷۶۵, ۲۷۷۵, ۲۷۸۵, ۲۷۹۵, ۲۸۰۵, ۲۸۱۵, ۲۸۲۵, ۲۸۳۵, ۲۸۴۵, ۲۸۵۵, ۲۸۶۵, ۲۸۷۵, ۲۸۸۵, ۲۸۹۵, ۲۹۰۵, ۲۹۱۵, ۲۹۲۵, ۲۹۳۵, ۲۹۴۵, ۲۹۵۵, ۲۹۶۵, ۲۹۷۵, ۲۹۸۵, ۲۹۹۵, ۳۰۰۵, ۳۰۱۵, ۳۰۲۵, ۳۰۳۵, ۳۰۴۵, ۳۰۵۵, ۳۰۶۵, ۳۰۷۵, ۳۰۸۵, ۳۰۹۵, ۳۱۰۵, ۳۱۱۵, ۳۱۲۵, ۳۱۳۵, ۳۱۴۵, ۳۱۵۵, ۳۱۶۵, ۳۱۷۵, ۳۱۸۵, ۳۱۹۵, ۳۲۰۵, ۳۲۱۵, ۳۲۲۵, ۳۲۳۵, ۳۲۴۵, ۳۲۵۵, ۳۲۶۵, ۳۲۷۵, ۳۲۸۵, ۳۲۹۵, ۳۳۰۵, ۳۳۱۵, ۳۳۲۵, ۳۳۳۵, ۳۳۴۵, ۳۳۵۵, ۳۳۶۵, ۳۳۷۵, ۳۳۸۵, ۳۳۹۵, ۳۴۰۵, ۳۴۱۵, ۳۴۲۵, ۳۴۳۵, ۳۴۴۵, ۳۴۵۵, ۳۴۶۵, ۳۴۷۵, ۳۴۸۵, ۳۴۹۵, ۳۵۰۵, ۳۵۱۵, ۳۵۲۵, ۳۵۳۵, ۳۵۴۵, ۳۵۵۵, ۳۵۶۵, ۳۵۷۵, ۳۵۸۵, ۳۵۹۵, ۳۶۰۵, ۳۶۱۵, ۳۶۲۵, ۳۶۳۵, ۳۶۴۵, ۳۶۵۵, ۳۶۶۵, ۳۶۷۵, ۳۶۸۵, ۳۶۹۵, ۳۷۰۵, ۳۷۱۵, ۳۷۲۵, ۳۷۳۵, ۳۷۴۵, ۳۷۵۵, ۳۷۶۵, ۳۷۷۵, ۳۷۸۵, ۳۷۹۵, ۳۸۰۵, ۳۸۱۵, ۳۸۲۵, ۳۸۳۵, ۳۸۴۵, ۳۸۵۵, ۳۸۶۵, ۳۸۷۵, ۳۸۸۵, ۳۸۹۵, ۳۹۰۵, ۳۹۱۵, ۳۹۲۵, ۳۹۳۵, ۳۹۴۵, ۳۹۵۵, ۳۹۶۵, ۳۹۷۵, ۳۹۸۵, ۳۹۹۵, ۴۰۰۵, ۴۰۱۵, ۴۰۲۵, ۴۰۳۵, ۴۰۴۵, ۴۰۵۵, ۴۰۶۵, ۴۰۷۵, ۴۰۸۵, ۴۰۹۵, ۴۱۰۵, ۴۱۱۵, ۴۱۲۵, ۴۱۳۵, ۴۱۴۵, ۴۱۵۵, ۴۱۶۵, ۴۱۷۵, ۴۱۸۵, ۴۱۹۵, ۴۲۰۵, ۴۲۱۵, ۴۲۲۵, ۴۲۳۵, ۴۲۴۵, ۴۲۵۵, ۴۲۶۵, ۴۲۷۵, ۴۲۸۵, ۴۲۹۵, ۴۳۰۵, ۴۳۱۵, ۴۳۲۵, ۴۳۳۵, ۴۳۴۵, ۴۳۵۵, ۴۳۶۵, ۴۳۷۵, ۴۳۸۵, ۴۳۹۵, ۴۴۰۵, ۴۴۱۵, ۴۴۲۵, ۴۴۳۵, ۴۴۴۵, ۴۴۵۵, ۴۴۶۵, ۴۴۷۵, ۴۴۸۵, ۴۴۹۵, ۴۵۰۵, ۴۵۱۵, ۴۵۲۵, ۴۵۳۵, ۴۵۴۵, ۴۵۵۵, ۴۵۶۵, ۴۵۷۵, ۴۵۸۵, ۴۵۹۵, ۴۶۰۵, ۴۶۱۵, ۴۶۲۵, ۴۶۳۵, ۴۶۴۵, ۴۶۵۵, ۴۶۶۵, ۴۶۷۵, ۴۶۸۵, ۴۶۹۵, ۴۷۰۵, ۴۷۱۵, ۴۷۲۵, ۴۷۳۵, ۴۷۴۵, ۴۷۵۵, ۴۷۶۵, ۴۷۷۵, ۴۷۸۵, ۴۷۹۵, ۴۸۰۵, ۴۸۱۵, ۴۸۲۵, ۴۸۳۵, ۴۸۴۵, ۴۸۵۵, ۴۸۶۵, ۴۸۷۵, ۴۸۸۵, ۴۸۹۵, ۴۹۰۵, ۴۹۱۵, ۴۹۲۵, ۴۹۳۵, ۴۹۴۵, ۴۹۵۵, ۴۹۶۵, ۴۹۷۵, ۴۹۸۵, ۴۹۹۵, ۵۰۰۵, ۵۰۱۵, ۵۰۲۵, ۵۰۳۵, ۵۰۴۵, ۵۰۵۵, ۵۰۶۵, ۵۰۷۵, ۵۰۸۵, ۵۰۹۵, ۵۱۰۵, ۵۱۱۵, ۵۱۲۵, ۵۱۳۵, ۵۱۴۵, ۵۱۵۵, ۵۱۶۵, ۵۱۷۵, ۵۱۸۵, ۵۱۹۵, ۵۲۰۵, ۵۲۱۵, ۵۲۲۵, ۵۲۳۵, ۵۲۴۵, ۵۲۵۵, ۵۲۶۵, ۵۲۷۵, ۵۲۸۵, ۵۲۹۵, ۵۳۰۵, ۵۳۱۵, ۵۳۲۵, ۵۳۳۵, ۵۳۴۵, ۵۳۵۵, ۵۳۶۵, ۵۳۷۵, ۵۳۸۵, ۵۳۹۵, ۵۴۰۵, ۵۴۱۵, ۵۴۲۵, ۵۴۳۵, ۵۴۴۵, ۵۴۵۵, ۵۴۶۵, ۵۴۷۵, ۵۴۸۵, ۵۴۹۵, ۵۵۰۵, ۵۵۱۵, ۵۵۲۵, ۵۵۳۵, ۵۵۴۵, ۵۵۵۵, ۵۵۶۵, ۵۵۷۵, ۵۵۸۵, ۵۵۹۵, ۵۶۰۵, ۵۶۱۵, ۵۶۲۵, ۵۶۳۵, ۵۶۴۵, ۵۶۵۵, ۵۶۶۵, ۵۶۷۵, ۵۶۸۵, ۵۶۹۵, ۵۷۰۵, ۵۷۱۵, ۵۷۲۵, ۵۷۳۵, ۵۷۴۵, ۵۷۵۵, ۵۷۶۵, ۵۷۷۵, ۵۷۸۵, ۵۷۹۵, ۵۸۰۵, ۵۸۱۵, ۵۸۲۵, ۵۸۳۵, ۵۸۴۵, ۵۸۵۵, ۵۸۶۵, ۵۸۷۵, ۵۸۸۵, ۵۸۹۵, ۵۹۰۵, ۵۹۱۵, ۵۹۲۵, ۵۹۳۵, ۵۹۴۵, ۵۹۵۵, ۵۹۶۵, ۵۹۷۵, ۵۹۸۵, ۵۹۹۵, ۶۰۰۵, ۶۰۱۵, ۶۰۲۵, ۶۰۳۵, ۶۰۴۵, ۶۰۵۵, ۶۰۶۵, ۶۰۷۵, ۶۰۸۵, ۶۰۹۵, ۶۱۰۵, ۶۱۱۵, ۶۱۲۵, ۶۱۳۵, ۶۱۴۵, ۶۱۵۵, ۶۱۶۵, ۶۱۷۵, ۶۱۸۵, ۶۱۹۵, ۶۲۰۵, ۶۲۱۵, ۶۲۲۵, ۶۲۳۵, ۶۲۴۵, ۶۲۵۵, ۶۲۶۵, ۶۲۷۵, ۶۲۸۵, ۶۲۹۵, ۶۳۰۵, ۶۳۱۵, ۶۳۲۵, ۶۳۳۵, ۶۳۴۵, ۶۳۵۵, ۶۳۶۵, ۶۳۷۵, ۶۳۸۵, ۶۳۹۵, ۶۴۰۵, ۶۴۱۵, ۶۴۲۵, ۶۴۳۵, ۶۴۴۵, ۶۴۵۵, ۶۴۶۵, ۶۴۷۵, ۶۴۸۵, ۶۴۹۵, ۶۵۰۵, ۶۵۱۵, ۶۵۲۵, ۶۵۳۵, ۶۵۴۵, ۶۵۵۵, ۶۵۶۵, ۶۵۷۵, ۶۵۸۵, ۶۵۹۵, ۶۶۰۵, ۶۶۱۵, ۶۶۲۵, ۶۶۳۵, ۶۶۴۵, ۶۶۵۵, ۶۶۶۵, ۶۶۷۵, ۶۶۸۵, ۶۶۹۵, ۶۷۰۵, ۶۷۱۵, ۶۷۲۵, ۶۷۳۵, ۶۷۴۵, ۶۷۵۵, ۶۷۶۵, ۶۷۷۵, ۶۷۸۵, ۶۷۹۵, ۶۸۰۵, ۶۸۱۵, ۶۸۲۵, ۶۸۳۵, ۶۸۴۵, ۶۸۵۵, ۶۸۶۵, ۶۸۷۵, ۶۸۸۵, ۶۸۹۵, ۶۹۰۵, ۶۹۱۵, ۶۹۲۵, ۶۹۳۵, ۶۹۴۵, ۶۹۵۵, ۶۹۶۵, ۶۹۷۵, ۶۹۸۵, ۶۹۹۵, ۷۰۰۵, ۷۰۱۵, ۷۰۲۵, ۷۰۳۵, ۷۰۴۵, ۷۰۵۵, ۷۰۶۵, ۷۰۷۵, ۷۰۸۵, ۷۰۹۵, ۷۱۰۵, ۷۱۱۵, ۷۱۲۵, ۷۱۳۵, ۷۱۴۵, ۷۱۵۵, ۷۱۶۵, ۷۱۷۵, ۷۱۸۵, ۷۱۹۵, ۷۲۰۵, ۷۲۱۵, ۷۲۲۵, ۷۲۳۵, ۷۲۴۵, ۷۲۵۵, ۷۲۶۵, ۷۲۷۵, ۷۲۸۵, ۷۲۹۵, ۷۳۰۵, ۷۳۱۵, ۷۳۲۵, ۷۳۳۵, ۷۳۴۵, ۷۳۵۵, ۷۳۶۵, ۷۳۷۵, ۷۳۸۵, ۷۳۹۵, ۷۴۰۵, ۷۴۱۵, ۷۴۲۵, ۷۴۳۵, ۷۴۴۵, ۷۴۵۵, ۷۴۶۵, ۷۴۷۵, ۷۴۸۵, ۷۴۹۵, ۷۵۰۵, ۷۵۱۵, ۷۵۲۵, ۷۵۳۵, ۷۵۴۵, ۷۵۵۵, ۷۵۶۵, ۷۵۷۵, ۷۵۸۵, ۷۵۹۵, ۷۶۰۵, ۷۶۱۵, ۷۶۲۵, ۷۶۳۵, ۷۶۴۵, ۷۶۵۵, ۷۶۶۵, ۷۶۷۵, ۷۶۸۵, ۷۶۹۵, ۷۷۰۵, ۷۷۱۵, ۷۷۲۵, ۷۷۳۵, ۷۷۴۵, ۷۷۵۵, ۷۷۶۵, ۷۷۷۵, ۷۷۸۵, ۷۷۹۵, ۷۸۰۵, ۷۸۱۵, ۷۸۲۵, ۷۸۳۵, ۷۸۴۵, ۷۸۵۵, ۷۸۶۵, ۷۸۷۵, ۷۸۸۵, ۷۸۹۵, ۷۹۰۵, ۷۹۱۵, ۷۹۲۵, ۷۹۳۵, ۷۹۴۵, ۷۹۵۵, ۷۹۶۵, ۷۹۷۵, ۷۹۸۵, ۷۹۹۵, ۸۰۰۵, ۸۰۱۵, ۸۰۲۵, ۸۰۳۵, ۸۰۴۵, ۸۰۵۵, ۸۰۶۵, ۸۰۷۵, ۸۰۸۵, ۸۰۹۵, ۸۱۰۵, ۸۱۱۵, ۸۱۲۵, ۸۱۳۵, ۸۱۴۵, ۸۱۵۵, ۸۱۶۵, ۸۱۷۵, ۸۱۸۵, ۸۱۹۵, ۸۲۰۵, ۸۲۱۵, ۸۲۲۵, ۸۲۳۵, ۸۲۴۵, ۸۲۵۵, ۸۲۶۵, ۸۲۷۵, ۸۲۸۵, ۸۲۹۵, ۸۳۰۵, ۸۳۱۵, ۸۳۲۵, ۸۳۳۵, ۸۳۴۵, ۸۳۵۵, ۸۳۶۵, ۸۳۷۵, ۸۳۸۵, ۸۳۹۵, ۸۴۰۵, ۸۴۱۵, ۸۴۲۵, ۸۴۳۵, ۸۴۴۵, ۸۴۵۵, ۸۴۶۵, ۸۴۷۵, ۸۴۸۵, ۸۴۹۵, ۸۵۰۵, ۸۵۱۵, ۸۵۲۵, ۸۵۳۵, ۸۵۴۵, ۸۵۵۵, ۸۵۶۵, ۸۵۷۵, ۸۵۸۵, ۸۵۹۵, ۸۶۰۵, ۸۶۱۵, ۸۶۲۵, ۸۶۳۵, ۸۶۴۵, ۸۶۵۵, ۸۶۶۵, ۸۶۷۵, ۸۶۸۵, ۸۶۹۵, ۸۷۰۵, ۸۷۱۵, ۸۷۲۵, ۸۷۳۵, ۸۷۴۵, ۸۷۵۵, ۸۷۶۵, ۸۷۷۵, ۸۷۸۵, ۸۷۹۵, ۸۸۰۵, ۸۸۱۵, ۸۸۲۵, ۸۸۳۵, ۸۸۴۵, ۸۸۵۵, ۸۸۶۵, ۸۸۷۵, ۸۸۸۵, ۸۸۹۵, ۸۹۰۵, ۸۹۱۵, ۸۹۲۵, ۸۹۳۵, ۸۹۴۵, ۸۹۵۵, ۸۹۶۵, ۸۹۷۵, ۸۹۸۵, ۸۹۹۵, ۹۰۰۵, ۹۰۱۵, ۹۰۲۵, ۹۰۳۵, ۹۰۴۵, ۹۰۵۵, ۹۰۶۵, ۹۰۷۵, ۹۰۸۵, ۹۰۹۵, ۹۱۰۵, ۹۱۱۵, ۹۱۲۵, ۹۱۳۵, ۹۱۴۵, ۹۱۵۵, ۹۱۶۵, ۹۱۷۵, ۹۱۸۵, ۹۱۹۵, ۹۲۰۵, ۹۲۱۵, ۹۲۲۵, ۹۲۳۵, ۹۲۴۵, ۹۲۵۵, ۹۲۶۵, ۹۲۷۵, ۹۲۸$

تکرار بر افزایش مشاهده‌پذیری توده می‌باشد؛ اما نکته دیگر افزایش نوفه نسبی در مراتب بالای تکرار می‌باشد. برای کره SNR کوچک‌تر (کره چهارم) اگرچه کنتراست و تا حدی SNR افزایش می‌یابد، اما ارزیابی بصری تصاویر حاکی از مشاهده‌پذیری پایین آن (همانند حالت قبل) به خصوص در مراتب پایین تر تکرار می‌باشد. البته استفاده از زمان بیشتر برای شبیه‌سازی (به دلیل افزایش تعداد رویدادهای صحیح) بر مشاهده‌پذیری این توده، افزوده خواهد کرد.

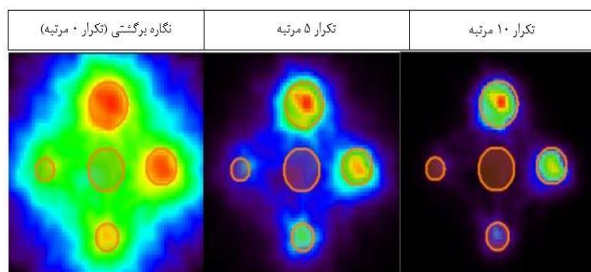
۳.۳ آشکارساز پراکننده: $0,5\text{ cm}$ و آشکارساز جاذب:

3 cm

پس از استخراج، حدود ۱۶۰۰۰ رویداد صحیح (زوج رویداد) حاصل گردید. همان‌گونه که از بازسازی تصویر گرفته شده 3 cm توسط آشکارساز پراکننده $0,5\text{ cm}$ و آشکارساز جاذب در شکل ۶ و جدول ۱ می‌توان مشاهده نمود روند مشابهی برای کنتراست و SNR تصاویر توده‌ها وجود دارد.



شکل (۴): نمایش ROI های کشیده شده برای فانتوم طراحی شده در ضخامت آشکارساز پراکننده $0,5\text{ cm}$ و آشکارساز جاذب: 1 cm ، دایره میانی نشان‌دهنده ROI برای شمارش‌های زمینه است.



شکل (۵): نمایانگر ROI های کشیده شده برای این فانتوم در ضخامت آشکارساز پراکننده $0,5\text{ cm}$ و آشکارساز جاذب: 2 cm

برهم‌کنش‌ها، رویدادهای درست برای بازسازی تصاویر استخراج گردیده است. در هر بخش تعداد رویدادهای صحیح استخراج شده ذکر گردیده و در جداول ۱ و ۲ نیز، مقادیر کنتراست، نسبت سیگنال به نوفه و نوفه نسبی حاصل از مراتب مختلف تکرار، برای کره‌های پرتوزا در ضخامت‌های مختلف که تصاویر فانتوم آن‌ها در اشکال ۴ الی ۸ گردآوری شده، محاسبه گردیده است.

۱.۳ آشکارساز پراکننده: $0,5\text{ cm}$ و آشکارساز جاذب:

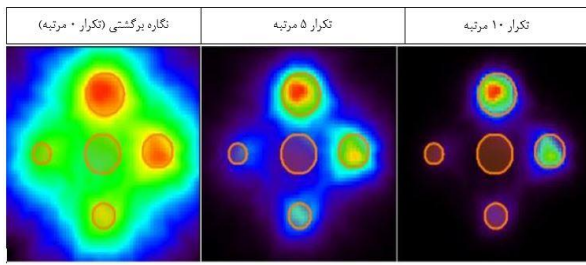
1 cm

این پردازش به استخراج حدود ۸۰۰۰ رویداد صحیح (زوج رویداد) منجر گردید. همان‌طور که از نتایج مربوط به بازسازی تصویر گرفته شده توسط آشکارساز پراکننده $0,5\text{ cm}$ و آشکارساز جاذب 1 cm در جدول ۱ و در شکل ۴ می‌توان مشاهده نمود مقادیر کنتراست و نسبت سیگنال به نوفه کره اول و کره دوم نزدیک به هم می‌باشد و با افزایش مراتب تکرار، این مقادیر برای کره دوم، نسبت به سایر کره‌ها بهتر خواهد بود. این امر با توجه به رویدادهای کم آشکارسازی شده (۸۰۰۰ رویداد صحیح) در بازه زمانی ۶۰ ثانیه روی داده است. برای کره‌های کوچک‌تر این مقادیر به شدت تنزل می‌یابد.

۲.۳ آشکارساز پراکننده: $0,5\text{ cm}$ و آشکارساز جاذب:

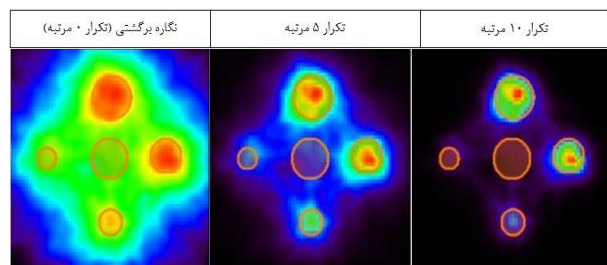
2 cm

در این ضخامت حدود ۱۲۰۰۰ رویداد صحیح (زوج رویداد) استخراج گردید. با توجه به نتایج مربوط به بازسازی تصویر گرفته شده (در شکل ۵) توسط آشکارساز پراکننده $0,5\text{ cm}$ و آشکارساز جاذب 2 cm در جدول ۱، مشخص می‌شود که برای کره اول با افزایش تکرار، میزان کنتراست تصویر و هم‌چنین SNR آن، افزایش می‌یابد. این مورد برای کره‌های دوم و سوم نیز برقرار است که نشان‌دهنده تأثیر مفید میزان



شکل (۸): نمایانگر ROI های کشیده شده برای این فانتوم در ضخامت آشکارساز پراکننده: 2 cm و آشکارساز جاذب: 3 cm .

باتوجه به توزیع یکنواخت پرتوزایی در کره‌ها، توده‌ای که میزان شعاع بیشتری داشته باشد، وکسل‌های بیشتری را در برگرفته و با توجه به اختصاص فعالیت یکنواخت به وکسل‌های توده، احتمال افزایش کتراست و نسبت سیگنال به نویه در تصویر بازسازی شده وجود دارد هرچند باید توجه داشت که با توجه به نوع بازسازی تصویر در دوربین کامپیوتون و استفاده از مخروط‌های بازسازی، پیش‌بینی تغییرات کتراست ساده نخواهد بود. درواقع در بازسازی تصویر در این نوع تصویربرداری، بهدلیل پرشدن فضای تصویر از مخروط‌هایی که احتمال گسیل و پاشی از وکسل‌ها را نشان می‌دهند، سبب می‌شوند نواحی گستردگی (وکسل‌های زیادی) حتی در فواصل به دور از ناحیه اصلی و پاشی، به عنوان نواحی احتمالی چشممه در حدس‌های اولیه در نظر گرفته شوند، همین امر سبب تأثیرگذاری حضور یک چشممه در وکسل‌هایی در فواصل دور از آن می‌گردد. از طرفی دیگر افزایش شمارش سبب می‌گردد خطای آماری موجود (و یا انحراف معیار) در تابع توزیع آماری رویدادها کاهش یابد و بنابراین تصویر توده از کیفیت قابل قبول تری برخوردار گردد. همین امر سبب می‌گردد ارزیابی چگونگی بهبود کیفیت تصویر توده‌ها با مشکل مواجه باشد، اما تخمین دست‌یابی به کتراست بالاتر برای توده‌های به نسبت بزرگ‌تر دور از انتظار نیست. نتایج به دست آمده تا حدی بیانگر همین اتفاق است؛ کتراست و نسبت سیگنال به نویه برای کره اول و دوم تقریباً به یکدیگر نزدیک است؛ اما برای توده‌های سوم و چهارم تنزل می‌یابد.



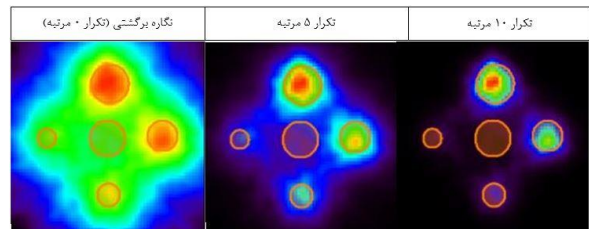
شکل (۶): نمایانگر ROI های کشیده شده برای این فانتوم در ضخامت آشکارساز پراکننده: $0,5\text{ cm}$ و آشکارساز جاذب: 3 cm .

۴.۳. آشکارساز پراکننده: 1 cm و آشکارساز جاذب: 3 cm

این پردازش به استخراج حدود 24000 رویداد صحیح (زوج رویداد) منجر گردید و نتایج حاصل از بازسازی تصویر در شکل ۷ قابل مشاهده است. با توجه به جدول ۲ با این که افزایش کتراست و نسبت سیگنال به نویه با افزایش مراتب تکرار، مطابق بخش‌های قبل، برای کره‌ها مشهود است. برای کره کوچکتر (کره چهارم) اگرچه کتراست و SNR افزایش یافته است اما مقادیر آن‌ها به همراه ارزیابی بصری تصاویر، بیانگر مشاهده‌پذیری پایین آن، به خصوص در مراتب تکرار پایین‌تر می‌باشد.

۵.۳. آشکارساز پراکننده: 2 cm و آشکارساز جاذب: 3 cm

این پردازش به استخراج حدود 44000 رویداد صحیح (زوج رویداد) منجر شد که نتایج حاصل از بازسازی تصویر در شکل ۸ قابل مشاهده است. با توجه به جدول ۲ افزایش کتراست و نسبت سیگنال به نویه با افزایش مراتب تکرار مشهود است. در این ضخامت بیشترین میزان نویه نسبی، نسبت به حالاتی قبلی نیز در مرتبه تکرار 10 قابل توجه است.



شکل (۷): نمایانگر ROI های کشیده شده برای این فانتوم در ضخامت آشکارساز پراکننده: 1 cm و آشکارساز جاذب: 3 cm .

ضرخامت و بازه زمانی تصویر فاتحوم آشکارسازی گردیده و تناوب مدنظر در کتراست و نسبت سیگنال به نوفه بین توده‌ها برقرار می‌باشد، فقط این تناسب بین کره اول و دوم نزدیک کره اول (که میزان فعالیت و شعاع بیشتری نسبت به سایر کره‌ها دارد) و کره دوم تقریباً نزدیک به هم می‌باشد. در همین جدول (۱): مقادیر کتراست، نسبت سیگنال به نوفه و نوفه نسبی حاصل از تصاویر نگاره برگشتی (مرتبه تکرار)، ۵ و ۱۰ مرتبه تکرار برای کره‌های پرتوزا در ضخامت آشکارساز پراکنده ۰,۵ سانتی‌متر و آشکارسازهای جاذب با ضخامت‌های ۱، ۲ و ۳ سانتی‌متر.

		ضخامت آشکارساز جاذب								
		۱ سانتی‌متر			۲ سانتی‌متر			۳ سانتی‌متر		
مرتبه تکرار	شماره کره	نسبت کتراست	نوبت سیگنال به نوفه	نوبت سیگنال به نوفه	نسبت کتراست	نوبت سیگنال به نوفه	نوبت کتراست	نوبت سیگنال به نوفه	نوبت سیگنال به نوفه	نوبت سیگنال به نوفه
	۱	۰/۰۹	۸/۶۰	۰/۰۱	۷/۲۹	۰/۴۵	۷/۹۸			
برگشتی (تکرار)	۲	۰/۶۰	۸/۸۳	۰/۴۶	۷/۴۸	۰/۴۳	۷/۶۱			
	۳	۰/۳۶	۵/۳۸	۰/۰۲۸	۳/۹۶	۰/۰۳	۴/۱۸			
	۴	۰/۱۲	۱/۸۵	۷/۸۲	۰/۰۶	۰/۰۸	۷/۰۹	۰/۰۶	۱/۱۶	۵/۷۶
	۱	۲/۷۵	۱۷/۹۷	۲/۸۹	۱۴/۴۴	۲/۴۴	۱۴/۲۸			
۵	۲	۳/۹۲	۱۸/۹۳	۲/۴۳	۱۲/۴۹	۲/۲۹	۱۳/۴۰			
	۳	۱/۷۷	۸/۵۱	۱/۸۲	۷/۰۱	۰/۹۸	۰/۷۵			
	۴	۰/۴۶	۲/۲۳	۲۱/۰۲	۰/۰۳	۱/۶۱	۲۰/۱۷	۰/۰۱	۱/۲۸	۱۷/۹۹
	۱	۲۱/۴۳	۵۲/۰۸	۱۳/۸۱	۳۷/۷۶	۱۰/۰۴	۳۴/۷۰			
۱۰	۲	۲۲/۶۲	۵۷/۴۱	۱۰/۷۲	۲۹/۳۳	۹/۹۹	۳۱/۹۸			
	۳	۷/۴۸	۱۵/۷۴	۲/۷۶	۱۰/۰۲	۲/۹۳	۹/۴۸			
	۴	۱/۱۶	۲/۸۱	۴۱/۱۴	۰/۰۲	۱/۴۲	۳۷/۷۸	۰/۰۷	۱/۰۲	۳۱/۹۱

جدول (۲): مقادیر کتراست، نسبت سیگنال به نوفه و نوفه نسبی حاصل از تصاویر نگاره برگشتی (۰ مرتبه تکرار)، ۵ و ۱۰ مرتبه تکرار برای کره‌های پرتوزا در ضخامت‌های آشکارساز پراکنده ۰,۵ و ۱ سانتی‌متر و آشکارساز جاذب ۳ سانتی‌متر.

		ضخامت آشکارساز پراکنده									
		۱ سانتی‌متر			۲ سانتی‌متر			۳ سانتی‌متر			
مرتبه تکرار	شماره کره	نسبت کتراست	نوبت سیگنال به نوفه	نوفه نسبی	نوبت کتراست	نوبت سیگنال به نوفه	نوبت کتراست	نوبت سیگنال به نوفه	نوفه نسبی	نوبت سیگنال به نوفه	
	۱	۰/۰۷	۱۰/۳۸	۰/۰۸	۸/۳۵						
نگاره برگشتی (تکرار)	۲	۰/۴۸	۸/۷۱	۰/۰۰	۷/۱۵						
	۳	۰/۰۵	۴/۵۴	۰/۰۶	۳/۷۷						
	۴	۰/۰۷	۱/۳۱	۰/۰۷	۱/۴۳						
	۱	۳/۴۰	۲۰/۴۰	۳/۲۰	۱۵/۵۵						
۵	۲	۲/۶۳	۱۵/۴۳	۲/۰۰	۱۲/۱۳						
	۳	۱/۰۷	۷/۲۰	۰/۹۶	۴/۶۷						
	۴	۰/۰۲۳	۱/۳۷	۱/۰۱	۱/۵۰	۱/۰۳۱	۱/۵۰				
	۱	۱۹/۰۵	۵۳/۰۵	۱۷/۰۰	۲۸/۵۱						
۱۰	۲	۱۲/۷۵	۳۴/۰۹	۱۰/۹۳	۲۵/۸۲						
	۳	۲/۳۰	۸/۹۵	۲/۷۰	۶/۳۸						
	۴	۰/۰۵۶	۱/۰۳	۳۴/۰۸	۱/۰۲	۰/۶۶	۱/۰۲	۴۲/۰۴			

به مقادیر حاصل شده کتراست و نسبت سیگنال به نوشه، بهینه‌ترین و بهترین مقدار را نسبت به سایر ضخامت‌ها دارا می‌باشد. برای آشکارسازهای پراکنده و جاذب به ترتیب با ضخامت‌های 2 cm و 3 cm ، با آشکارسازی 44000 رویداد صحیح، مقادیر کتراست و نسبت سیگنال به نوشه مناسب هستند. البته نسبت به ضخامت قبلی، این مقادیر تنزل یافته‌اند. با افزایش تکرار تا مرتبه 10 ، در همین ضخامت بیشترین نوشه نسبی را ($\text{معادل با } 42,54$) نسبت به سایر حالات پیش‌رو داریم.

به طور کلی، افزایش ضخامت کریستال CZT به بهبود میزان کتراست و نسبت سیگنال به نوشه توده‌ها منجر خواهد شد و اعمال بیشتر مراتب تکرار نیز این تأثیر ضخامت را مشهودتر می‌کند. در مجموع، تصاویر سه کره بزرگ‌تر مشاهده‌پذیری به مراتب مطلوب‌تری نسبت به کره چهارم داشته و افزایش ضخامت و مراتب تکرار نیز به مشاهده‌پذیری کیفی توده‌ها، جلوه مطلوب‌تری داده است.

۴. بحث و بررسی

نتایج حاصل شده از شبیه‌سازی دوربین کامپیوتون و استفاده از روش بازسازی شده در کد MATLAB، درستی عملکرد کد نوشته شده در بازسازی تصویر را به‌وضوح ارائه کرد.

نتایج حاصل از بازسازی تصویر به کمک الگوریتم نوشته شده، نشان‌دهنده توانایی انجام برش‌نگاری^۱ توسط دوربین کامپیوتون در یک رصد از فانتوم شامل چهار کره پرتوزا است. در ادامه و بهمنظور افزایش کارایی دوربین کامپیوتون، میزان تکرار بر درستی نتایج مورد ارزیابی قرار گرفت و همچنین در این مورد مهم، بهینه‌سازی دوربین کامپیوتون مورد توجه قرار گرفت. این بهینه‌سازی در قالب طراحی یک دوربین کامپیوتون در کد GATE با قطر کریستال متفاوت دوربین‌ها صورت پذیرفت و

در ضخامت‌های بیشتر، همان‌طور که از جداول ۱ و ۲ قابل ملاحظه است؛ برای توده کوچک (کره چهارم) با افزایش ضخامت میزان کتراست و نسبت سیگنال به نوشه این توده افزایش پیدا می‌کند و متعاقب آن، افزایش مراتب تکرار نیز این تأثیر ضخامت را ملموس‌تر می‌کند؛ اگرچه مشاهده‌پذیری این توده نسبت به سایر توده‌ها کم‌تر می‌باشد که به‌نحوی تفاوت میان ارزیابی کمی و کیفی در تصویربرداری هسته‌ای را نشان می‌دهد.

در آشکارساز پراکنده: 5 cm و آشکارساز جاذب: $0,5\text{ cm}$ ، با آشکارسازی 12000 رویداد صحیح، نتایج نسبت به حالت قبل بهبود می‌یابد. با برآورد مقادیر کتراست و نسبت سیگنال به نوشه، این موارد برای کره اول بیش از کره دوم، کره دوم بیش از کره سوم و کره سوم بیش از کره چهارم است. در این ضخامت با افزایش مراتب تکرار، تصویر کیفیت مطلوب‌تری پیدا می‌کند حال آن‌که این روند افزایش نوشه نسبی را با خود به همراه دارد. نوشه نسبی در این ضخامت برابر با $36/68$ می‌باشد. برای آشکارساز پراکنده به ضخامت $0,5\text{ cm}$ و آشکارساز جاذب به ضخامت 3 cm ، با آشکارسازی 16000 رویداد صحیح برای کره‌ها، مقادیر کتراست و نسبت سیگنال به نوشه حاصل شده شرایط مشابهی دارند. در این ضخامت کره اول و دوم بیشترین نزدیکی کتراست و نسبت سیگنال به نوشه را نسبت به سایر ضخامت‌ها دارند که البته پایین‌بودن نوشه نسبی نسبت به سایر ضخامت‌ها را برای تصاویر بازسازی شده درپی دارد. برای آشکارسازهای پراکنده و جاذب به ترتیب با ضخامت‌های 1 cm و 3 cm با آشکارسازی 24000 رویداد صحیح، تصویربرداری به صورت مطلوبی انجام گردیده است و با توجه به مقادیر حاصل شده این ضخامت بهترین میزان کتراست و نسبت سیگنال به نوشه را دارا بوده و به لحاظ نوشه نسبی نیز نسبت به سایر ضخامت‌ها عملکرد بهتری دارد خصوصاً در تکرار 10 مرتبه که نوشه نسبی حاصل شده با توجه

^۱ Tomography

بهینه‌ای را فراهم آورد. برای آشکارساز جاذب، تنها جذب رویدادها، هدف نهایی می‌باشد که درواقع انتخاب ضخامت بیشتر برای نیل به این هدف مناسب خواهد بود. نتایج حاصل از شبیه‌سازی‌ها (ارائه شده در جداول) نشان می‌دهد برای آشکارسازهای پراکنده و جاذب به ترتیب ضخامت‌های ۱ و ۳ cm بهینه‌ترین ابعاد برای هر دو آشکارساز است. با اعمال الگوریتم LM-MLEM تا مرتبه ۱۰، کتراساست و نسبت سیگنال به نویه در تصاویر بازسازی شده مطلوب‌تر می‌گردد. نتایج حاصل از این مطالعه نشان‌دهنده عملکرد دقیق و درست الگوریتم نوشته شده در کد MATLAB برای بازسازی تصویر در دوربین کامپیتون است. به‌منظور دستیابی به شرایط واقعی‌تر، این الگوریتم همراه با نتایج شبیه‌سازی مونت‌کارلو، توانایی دوربین کامپیتون در ارائه یک تصویر برش‌نگاری شده در یک رصد از جسم را به خوبی نشان داده است؛ که یک برتری قابل توجه نسبت به روش‌های رایج برش‌نگاری پژوهشکی هسته‌ای محسوب می‌شود. نتایج حاصل از بهینه‌سازی سیستم، نشان از حساسیت شدید پارامترهای ارزیابی تصویر به ضخامت آشکارساز پراکنده دارد که با توجه به انرژی چشممه قابل بهینه‌سازی است.

به‌منظور ارزیابی دقیق آن، از یک فانتوم استوانه‌ای با توده‌های گرم با قطرهای متفاوت استفاده گردید. به‌منظور مقایسه تصویر توده‌ها از ROI های کشیده شده به‌کمک کد AMIDE بر تصویر توده‌ها استفاده شد و نتایج آن‌ها در قالب معیارهای مانند کتراساست، نسبت سیگنال به نویه و نیز نویه نسبی مورد ارزیابی و مقایسه قرار گرفت. ROI های کشیده شده بر روی تصاویر با توجه به ابعاد کره‌ها در شبیه‌سازی تعریف شده است.

۵. نتیجه‌گیری

نتایج به‌دست آمده نشان می‌دهد که در تصویربرداری به‌کمک دوربین کامپیتون با توجه به وجود دو آشکارساز پراکنده و جاذب، تخمین ضخامت‌های بهینه برای آشکارساز پراکنده به‌راحتی قابل پیش‌بینی نمی‌باشد. شیوه بازسازی متفاوت در این دوربین بر غیر قابل پیش‌بینی بودن این امر خواهد افزود. زیرا ضخامت این آشکارساز، به‌نحوی توازن میان درصد بهینه پراکنده‌گی رویدادها برقرار خواهد کرد. درواقع ضخامت آشکارساز پراکنده، به صورت مستقیم بر نسبت جذب به پراکنده‌گی پرتوهای فروdi تاثیرگذار است و می‌تواند شرایط

۶. مراجع

- [1] S. Chonfelder, A. Hirner and K. Schneider. A Telescope for Soft Gamma Ray Astronomy, Nuclear Instruments and Methods, 107(2) (1973) 385-394.
- [2] W. Todd, M. Nightingale and D. Everett. A proposed gamma camera, Nature, 251(1974) 132-134.
- [3] M. Singh. An electronically collimated gamma camera for single photon Emission computed tomography: Part I. theoretical considerations and design criteria, Medical Physics, 10(1983) 421-427.
- [4] M. Singh and D. Doria. An electronically collimated gamma camera for single photon emission computed tomography: Part II. Image reconstruction and preliminary experimental measurements, Medical Physics, 10(1983) 428-435.
- [5] N. Tsoulfanidis. Measurement and detection of radiation, Taylor & Francis, 2nd ed, (1995).
- [6] M. Singh, F. Doty, S. Friesenhahn and J. Butler. Feasibility of using Cadmiumzinc- Telluride detectors in electronically collimated SPECT, IEEE Transactions on Nuclear Science, 42(1995) 1139-1146.
- [7] F. Zhang, Z. He, D. Xu, G. Knoll, D. Wehe and J. Berry. Improved Resolution for 3-D Position Sensitive CdZnTe Spectrometers, IEEE Transactions on Nuclear Science, 51(2004) 2427-2431.
- [8] S. Jan, G. Santin, D. Strul, S. Staelens, K. Assié, D. Autret, S. Avner, R. Barbier, M. Bardiès, P. M. Bloomfield, D. Brasse, V. Breton, P. Bruyndonckx, I. Buvat, A.F. Chatzioannou, Y. Choi, Y.H. Chung, C. Comtat, D. Donnarieix, L. Ferrer, S.J. Glick, C.J. Groiselle, D. Guez, P.F. Honore, S. Kerhoas-Cavata, A.S. Kirov, V. Kohli, M. Koole, M. Krieguer, D.J. van der Laan, F. Lamare, G. Largeron, C. Lartizien, D. Lazaro, M.C. Maas, L. Maigne, F. Mayet, F. Melot, C. Merheb, E. Pennacchio, J. Perez, U. Pietrzyk, F.R. Rannou, M. Rey, D.R. Schaart, C.R. Schmidlein, L. Simon, T.Y. Song, J.M. Vieira, D. Visvikis, R. Van de Walle, E. Wieërs and C. Morel. GATE: a simulation toolkit for PET and SPECT. Physics in Medicine & Biology, 49(19) (2004) 4543-4561.
- [9] A. Sadremomtaz and P. Taherparvar. Effect of energy window width on the contrast and SNR of diagnosis of defects in different regions of myocardial phantom, International Journal of Engineering Research and Application, 2(6) (2012) 1124-1128.
- [10] X. Lojacono. Image reconstruction for Compton camera with application to hadrontherapy. Imaging. INSA de Lyon, 2013.
- [11] A. Sadremomtaz and P. Taherparvar. The influence of filters on the SPECT image of Carlson phantom. Journal of Biomedical Science and Engineering, 6(3) (2013) 291-29.
- [12] K. Langeand and R. Carson. EM reconstruction algorithms for emission and transmission tomography. Journal of Computer Assisted Tomography, 8(2) (1984) 306-316.
- [13] A. Zoglauer. First Light for the next Generation of Compton and Pair telescopes PhD thesis, (2005).
- [14] P. Taherparvar and A. Sadremomtaz. Development of GATE Monte Carlo simulation for a CsI pixelated gamma camera dedicated to high resolution animal SPECT. Australasian physical & engineering sciences in medicine, 41(1) (2018) 31-39.
- [15] Z. Fardi and P. Taherparvar. A Monte Carlo investigation of the dose distribution for new I-125 Low Dose Rate brachytherapy source in water and in different media. Polish Journal of Medical Physics and Engineering, 25(1) (2019) 15-22.
- [16] A.M. Loening and S.S. Gambhir. AMIDE: A completely free system for medical imaging data analysis, Molecular Imaging, 2(3) (2013) 131-137.